

| | | |
|------------|-------------------|-------------|
| Channel-ID | StreamingMedia-ID | TheBestList |
|------------|-------------------|-------------|

图2 频道记忆模块结构

其中, Channel-ID 表示频道号; StreamingMedia-ID 表示流媒体块号; TheBestList 表示目前正在点播该频道、块号的最优节点列表。

预测模块的结构如图3所示,分为3个部分:(1)短期预测(ShortPrediction)。短期预测的结果直接存入内存中的预测缓存,当进行VCR操作产生定位延迟时,先查询内存中的预测缓存,若命中就直接响应;否则查询长期预测部分。(2)长期预测(LongPrediction)。播放媒体的同时,根据Gossip协议的时间相关性,在当前带宽负载不严重时,下载部分正在点播块较远的内容到硬盘进行缓存。在短期预测失败的情况下,可以查询硬盘中的预测缓存。若命中,将其调入内存,通过相应的替换策略进行替换、然后播放;若没有命中,则转到预测仲裁。(3)预测仲裁(PredictionAbiter)。根据当前的网络状态以及对等节点的情况,找出对本地节点最有利的对等节点,在预测失败时,供路由选择模块使用。

| | | |
|-----------------|----------------|------------------|
| ShortPrediction | LongPrediction | PredictionAbiter |
|-----------------|----------------|------------------|

图3 预测模块结构

本文提出的客户端缓存模型中并不将播放完的视频块直接丢弃,而是将其按一定的算法存入硬盘中的已播缓存中。这样在用户进行VCR、向前拖动时,响应时间极短。

缓存模型的工作流程描述如下:

- (1)获取频道记忆列表,并对内存、硬盘缓存空间进行格式化。
- (2)用户点播某个节目后,从频道记忆列表中获得最优对等节点进行连接,同时发起路由选择,更新频道记忆列表。
- (3)缓存P2P流媒体块数据并播放。将播放后的数据缓存到硬盘的已播缓存中。
- (4)根据Gossip协议的时间相关性原理,启动预测模块。
- (5)如果产生VCR操作,先查询内存中的预测缓存,命中则转(3),否则转(6)。
- (6)查询硬盘中的预测缓存以及已播缓存,命中则转(3),否则转(7)。
- (7)发起路由选择,用户是否更换其他频道,是转(2),否则转(3)。

3 替换算法

对于P2P流媒体点播的客户端缓存而言,媒体的流行度并不重要。主要应考虑哪些内容需要缓存、哪些内容需要从缓存中淘汰。目前对客户端的缓存的研究并不多,一个较好的客户端缓存算法要替换出使用价值小的、缓存使用价值大的数据,同时还要关注其他节点的缓存情况。针对本文的缓存模型,给出了预测缓存替换算法。播放缓存采用LRU算法。

设缓存替代请求时刻为 t ,记此时预测缓存中的流媒体文件集合为 $C_{file}=\{1, 2, \dots, n\}$,文件块 i 在预测缓存部分的大小为 $size(i)$, $i \in C_{file}$,缓存容量上限为 U_{limit} ,那么应该满足 $\sum_{i \in C_{file}} size(i) \leq U_{limit}$ 。用户点播某个频道,该频道的视频文件被切割成若干份,每份在 t 时刻被点播的概率为 P_i , $i \in C_{file}$,则在硬盘的预测缓存中取 $\min \sum_{i \in C_{file}} P_i$,而在内存的预测缓存

中取 $\max \sum_{i \in C_{file}} P_i$ 。在点播的过程中,访问某个时间段 Δt 内的人数有多有少,即点播的概率 P_i 并不一定相同,点播概率大的时候能体现P2P点播的优点,文件副本比较多,在路由搜索时可以得到很快的响应,因此,内存中的预测缓存采用缓存点播概率较大的文件块。这样可以实时响应VCR操作,缩短响应时间。硬盘的预测缓存则采用相反的替换算法,考虑到 Δt 时间内点播概率大的文件块可以在内存预测缓存中保存,同时如果产生VCR操作,由于资源数比较多,可以直接进行路由搜索。而当 Δt 时间内点播概率较小的时候,就不宜等到产生VCR时进行路由,因为此时的资源数少,响应时间肯定会变长。因此,硬盘的预测缓存主要是缓存点播概率小的文件块。在VCR操作发生时,可以先从硬盘的预测缓存中进行搜索,有效解决了因点播资源少而导致长时间下载缓冲、不能观看的问题。替换时将 $\max\{P_i \mid i \in C_{file}\}$ 的文件块替换出去。

该算法的伪代码描述如下:

```

ReplaceAlgorithm(待缓存文件块 i){
    If( $P_i <$  阈值){ //缓存到硬盘的预测缓存中
        If( $size(i) <$  size(硬盘预测缓存的空闲空间)){
            直接缓存该文件块;}
        Else{
            Tempi=find( $P_i$ ); //该函数找出当前预测缓存中比 $P_i$ 大的文件块,将最大值返回。
            替换 $P_{Temp_i}$ 位置的文件块,将文件块 $i$ 放入缓存;}}
        Else{
            If( $size(i) <$  size(内存预测缓存的空闲空间)){
                直接缓存该文件块;}
            Else{
                Tempj=find( $P_i$ ); //该函数找出当前预测缓存中比 $P_i$ 小的文件块, //将最小值返回。
                替换 $P_{Temp_j}$ 位置的文件块,将文件块 $i$ 放入缓存;}}}}

```

4 仿真实验

预测双缓存策略增加的是客户端的磁盘空间,除了频道记忆列表外,没有增加网络的控制信息量,对每次程序初始化时,只增加1次与服务器的请求和应答,而且所需传递的信息数量很少,对系统的整体性能基本上不会产生影响。

衡量P2P流媒体点播系统性能的主要指标有:(1)系统能同时支持的客户端数量;(2)点播时视频是否流畅。混合式P2P流媒体点播系统主要就是利用客户端来分担服务器的负载,在边下载播放的同时给对等节点上传。本文利用模拟实验,通过对比在相同情况下对等节点分别采用预测双缓冲策略和传统不加预测的缓冲策略时,缓存命中次数与缓存大小以及客户端数目之间的关系,来研究预测双缓冲策略的有效性。

用一个离散事件仿真器来模拟系统中的服务器和对等节点在系统运行中的行为,仿真器由用户的VCR操作驱动。当产生一个VCR时,仿真器随机选择一个对等节点作为请求的发出者,同时服务器将当前点播该频道的该时间段的流媒体块的对等节点列表发送给请求者,请求者接收到后启动缓存算法。

本实验在Windows 2000,PIII 600 MHz,512 MB内存的机器上完成。实验假定有1台流媒体服务器,1个60 min长流媒体被分割为3600块,阈值为0.5。测试用的客户端数目分别为1,10,100,1000,10000,其中,每台都有缓存能力,即可以按预测双缓存策略提供下载、播放、缓存、上传等服

务。实验中忽略各种事件的处理时间,不考虑实际网络的影响。模拟实验从系统进入稳定状态时(各对等节点均已随机缓存了单个频道的某些媒体块)开始计时。图 4~图 6 给出了部分实验结果。

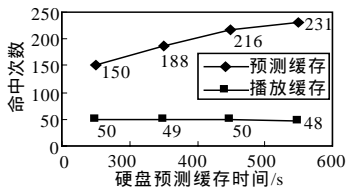


图 4 硬盘预测缓存时间与命中次数关系

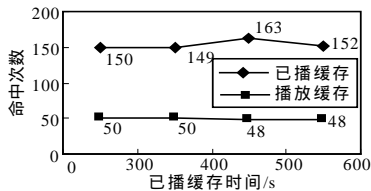


图 5 已播缓存时间与命中次数关系

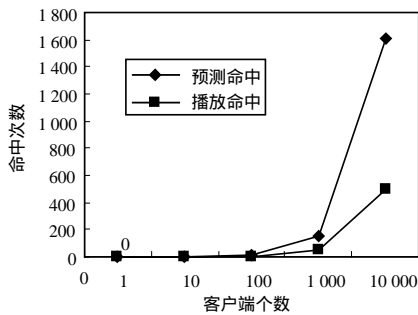


图 6 客户端数目与命中次数关系

图 4~图 5 是在 1 000 个客户端节点、不同的缓存时间的情况下,系统进入稳定状态后,命中次数随着缓存时间的变化曲线。从图 4 中可以看出,硬盘预测缓存时间对命中次数

有一定的影响,基本上呈线性增长。从图 5 中可以看出,已播缓存时间对命中率的影响不是很大,因为在观看一部影片,点播刚看完的片段要比点播没有观看的片段的概率小。

图 6 显示了客户端数目与命中次数的关系,在客户端数目较少时双缓冲策略与传统的缓存策略相差不多。当客户端数目比较多时,即点播该影片的人数多时,双缓冲策略明显优于传统的缓存策略,命中次数显著增加。验证了点播的人数越多越能体现 P2P 流媒体特性这一特点。

5 结束语

本文在对传统缓存策略分析的基础上,结合 P2P 流媒体点播系统的特点,设计了一种基于硬盘、内存的预测双缓冲策略。该策略中包含部分媒体流在硬盘缓存中保存,涉及到读写硬盘。以后的工作将进一步探讨是否可以减少硬盘缓存的读写次数,以减小对硬盘的伤害。

参考文献

- [1] Liu Yunqiang, Yu Songyu. Streaming Media Delivery with Proxy Cache for Heterogeneous Clients[C]//Proceedings of the 7th IEEE Workshop on Multimedia Signal Processing. Shanghai, China: [s. n.], 2005.
- [2] Chang Shin-hung, Chang Ray-I. A Priority Selected Cache Algorithm for Video Relay in Streaming Applications[J]. IEEE Transactions on Broadcasting, 2007, 53(1): 79-91.
- [3] Chen Songqing, Shen Bo, Susie W, et al. Adaptive and Lazy Segmentation Based Proxy Caching for Streaming Media Delivery[C]//Proc. of NOSSDAV'03. Monterey, CA, USA: [s. n.], 2003.
- [4] Sasabe M, Wakamiya N. Scalable and Continuous Media Steaming on Peer-to-Peer Networks[C]//Proceedings of the 3rd International Conference on Peer-to-Peer Computing. Linköping, Sweden: [s. n.], 2003.

(上接第 70 页)

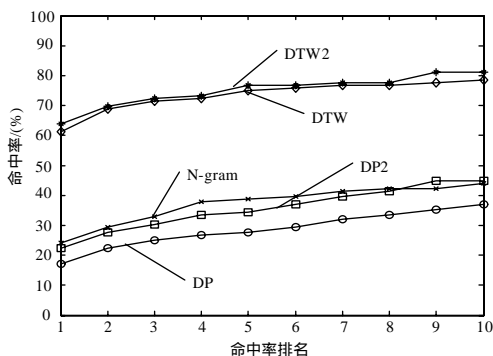


图 6 5 种算法的前 10 位命中率

5 结束语

音高和音长是音符的重要信息,目前大多检索算法将音高和音长信息分开利用,分别计算音高轮廓相似度和音长相似度,然后根据各自的权重综合两者。本文分析了 DTW 算法的不足之处,并将音长信息引入其中,在此基础上实现了一个哼唱检索系统的原型,实验证明了本算法的有效性。在数据库容量扩大的情况下证明本算法的有效性以及提高检索速度是值得人们进一步研究的问题。

参考文献

- [1] Ghias A, Logan J, Chamberlain D, et al. Query By Humming Musical Information Retrieval in An Audio Database[C]//Proceedings of the 3rd ACM International Conference on Multimedia. San Francisco, California, USA: ACM Press, 1995.
- [2] Wu Yadong, Li Yang, Liu Baolong. A New Method for Approximate Melody Matching[C]//Proc. of IEEE International Conference on Machine Learning and Cybernetics. Xi'an, China: IEEE Press, 2003.
- [3] 金毅, 黄敏. 基于旋律的音乐检索[J]. 情报学报, 2003, 22(3): 297-301.
- [4] Lu Lie, You Hong, Zhang Hongjiang. A New Approach to Query By Humming in Music Retrieval[C]//Proc. of IEEE International Conf. on Multimedia and Expo. Tokyo, Japan: IEEE Press, 2001.
- [5] 马志欣, 付少锋, 周利华. 哼唱检索中一种新的旋律模糊匹配方法[J]. 西安电子科技大学, 2006, 33(1): 85-88.
- [6] 富亮. 基于内容的音乐检索研究[D]. 上海: 复旦大学, 2005.
- [7] 李明. 基于哼唱的音乐检索研究[D]. 北京: 中国科学院声学所, 2005.